

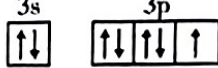
## 高二化学

可能用到的相对原子质量: H 1 C 12 N 14 O 16 F 19 Ca 40 Ti 48 Fe 56

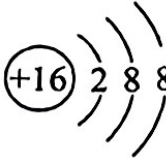
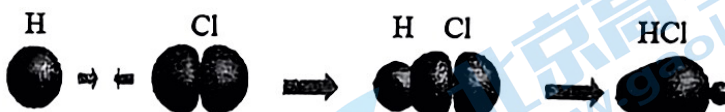
## 第 I 卷 (共 42 分)

一、选择题 (本大题共 21 小题, 每小题 2 分, 共 42 分。在每小题所列出的四个选项中, 只有一项是最符合题目要求的)

1. 下列化学用语不正确的是

- A. 氮分子的电子式:  $\text{:N} \cdots \text{N:}$
- B. 基态 Cl 原子的价电子轨道表示式: 
- C. 基态  $\text{Fe}^{2+}$  的价电子排布式:  $3d^54s^1$
- D.  $\text{CO}_2$  分子的空间结构模型: 

2. 下列化学用语或图示表达不正确的是

- A.  $\text{SO}_3$  的 VSEPR 模型: 
- B.  $\text{S}^{2-}$  的结构示意图: 
- C. 原子核内有 8 个中子的碳原子:  ${}^{14}_{\text{C}}$
- D.  $\text{HCl}$  分子中  $\sigma$  键的形成: 

3. 下列表述不正确的是

- A. 原子轨道能量:  $1s < 2s < 3s < 4s$
- B. M 能层存在 3 个能级、9 个原子轨道
- C. 4s 电子能量较高, 总是在比 3s 电子离核更远的地方运动
- D. 同一周期, 碱金属元素的第一电离能最小, 最容易失电子

4. 关于金属腐蚀与防护的如下各叙述中, 正确的是

- A. 常温下潮湿的空气中, 金属主要发生化学腐蚀
- B. 铁发生析氢腐蚀的负极反应式为  $\text{Fe} - 3\text{e}^- = \text{Fe}^{3+}$
- C. 马口铁(镀锡铁)镀层破损后被腐蚀时, 首先是镀层被氧化
- D. 在海轮外壳连接锌块保护外壳不受腐蚀是采用了牺牲阳极法

5. 下列关于元素或物质性质的比较中，不正确的是

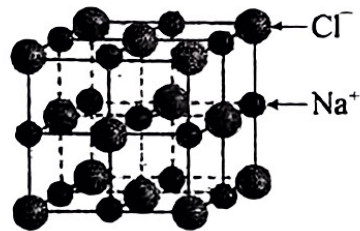
- A. 稳定性：HF>HCl>HBr      B. 第一电离能：Al>Mg>Na  
C. 酸性：HNO<sub>3</sub>>H<sub>3</sub>PO<sub>4</sub>>H<sub>2</sub>SiO<sub>3</sub>      D. 电负性：C<N<O

6. 设 N<sub>A</sub> 为阿伏伽德罗常数的值。下列说法正确的是

- A. 常温常压下，4.4gCO<sub>2</sub>与N<sub>2</sub>O混合气体中含有的原子总数为0.3N<sub>A</sub>  
B. 标况下，11.2L的CO<sub>2</sub>气体含有的σ键数为2N<sub>A</sub>  
C. 1mol•L<sup>-1</sup>的CuCl<sub>2</sub>溶液中含有Cl<sup>-</sup>的数目为2N<sub>A</sub>  
D. 在过氧化钠与水的反应中，每反应0.1mol过氧化钠，转移电子的数目为0.2N<sub>A</sub>

7. NaCl的晶胞结构如图所示。下列说法不正确的是

- A. NaCl属于离子晶体  
B. 每个晶胞中平均含有4个Na<sup>+</sup>和4个Cl<sup>-</sup>  
C. 每个Na<sup>+</sup>周围有6个紧邻的Cl<sup>-</sup>和6个紧邻的Na<sup>+</sup>  
D. Na<sup>+</sup>和Cl<sup>-</sup>间存在较强的离子键，因此NaCl具有较高的熔点



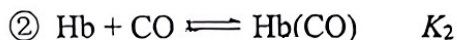
8. 三氯化氮(NCl<sub>3</sub>)可用于漂白和消毒。下列说法不正确的是

- A. NCl<sub>3</sub>分子中的化学键均为极性共价键  
B. NCl<sub>3</sub>中每个原子均满足8电子稳定结构  
C. NCl<sub>3</sub>分子为非极性分子  
D. 根据电负性N>Cl推测，NCl<sub>3</sub>与H<sub>2</sub>O反应生成NH<sub>3</sub>和HClO

9. 对下列事实的解释不正确的是

选项	事实	解释
A	气态氢化物稳定性： H <sub>2</sub> S<H <sub>2</sub> O	H <sub>2</sub> O分子间存在氢键，H <sub>2</sub> S分子间不存在氢键
B	熔点：石英>干冰	石英是共价晶体，干冰是分子晶体；共价键比分子间作用力强
C	酸性： CF <sub>3</sub> COOH>CCl <sub>3</sub> COOH	F的电负性大于Cl，F-C的极性大于Cl-C，使F <sub>3</sub> C-的极性大于Cl <sub>3</sub> C-的极性，导致分子中O-H极性：CF <sub>3</sub> COOH>CCl <sub>3</sub> COOH
D	Cl <sub>2</sub> 分子中的共价键是σ键	Cl价电子排布为3s <sup>2</sup> 3p <sup>5</sup> ，Cl原子结合为Cl <sub>2</sub> 时，两个原子的3p轨道“头碰头”重叠

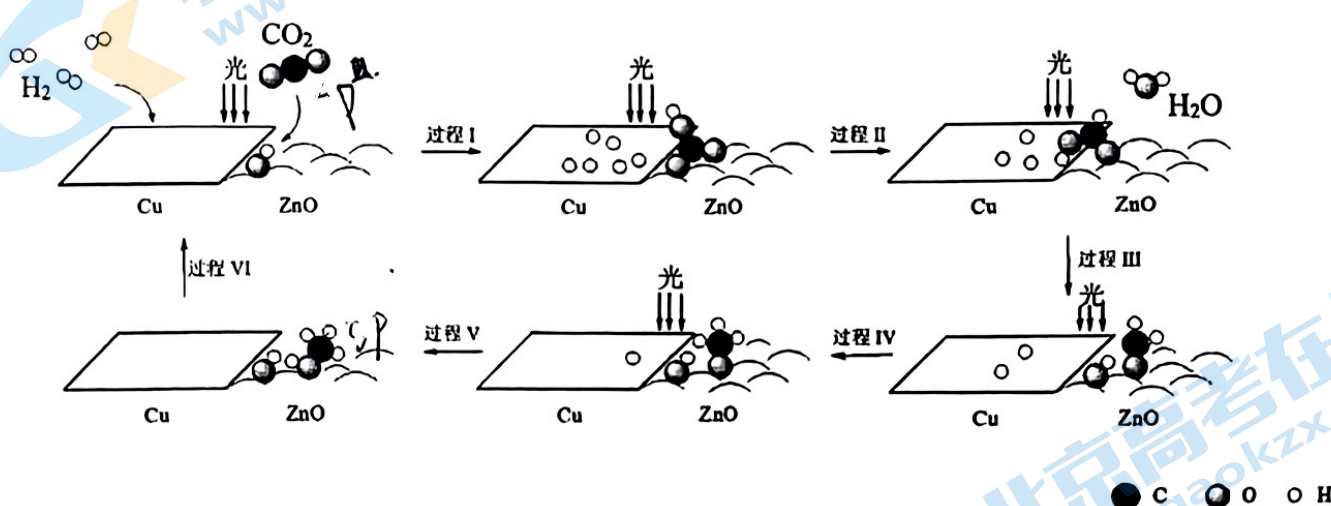
10. 血红蛋白结合  $O_2$  后的结构如图所示,  $Fe^{2+}$  与周围的 6 个原子均以配位键结合。CO 也可与血红蛋白配位, 它与血红蛋白结合的能力约为  $O_2$  的 230~270 倍。二者与血红蛋白 (Hb) 结合的反应可表示为:



下列说法不正确的是

- A.  $Fe^{2+}$  形成配位键时提供空轨道
- B. 电负性:  $O > C$ , 故  $CO$  中与  $Fe^{2+}$  配位的是  $O$
- C. 由题意可得结论: 相同温度下,  $K_2 > K_1$
- D. CO 中毒患者进入高压氧舱治疗, 平衡①、②移动的方向相反

11. 科研人员利用  $Cu/ZnO$  作催化剂, 在光照条件下实现了  $CO_2$  和  $H_2$  合成甲醇 ( $CH_3OH$ ), 该反应历程示意图如下。

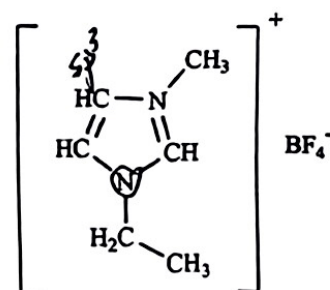


下列说法不正确的是

- A. 过程 II 中存在极性键的断裂与形成
- B. 过程 V 中生成  $CH_3OH$  时吸收能量
- C. 总反应的化学方程式是  $CO_2 + 3H_2 \xrightarrow[\text{光}]{Cu/ZnO} CH_3OH + H_2O$
- D. 在催化反应的过程中, C 原子的杂化类型发生改变

12. 离子液体具有较好的化学稳定性、较低的熔点以及对多种物质有良好的溶解性, 因此被广泛应用于有机合成、分离提纯以及电化学研究中。下图为某一离子液体的结构。下列选项不正确的是

- A. 该离子液体能与水分子形成氢键
- B. 该结构中不存在手性碳原子
- C. 该结构中 C 原子的轨道杂化类型有 3 种
- D.  $BF_4^-$  中存在配位键,  $F^-$  提供孤电子对



13. 因生产金属铁的工艺和温度等因素不同，产生的铁单质的晶体结构也不同。两种铁晶胞（均为立方体，边长分别为  $a\text{ nm}$  和  $1.22a\text{ nm}$ ）的结构示意图如下。

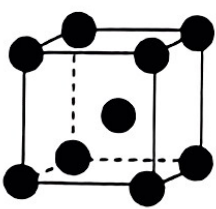


图 1

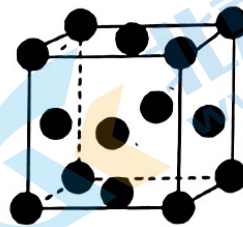
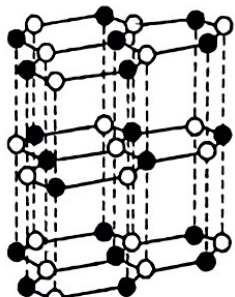


图 2

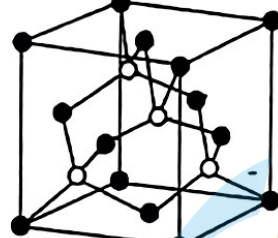
下列说法不正确的是

- A. 用 X 射线衍射可测定铁晶体的结构
- B. 图 2 代表的铁单质中，一个铁原子周围最多有 4 个紧邻的铁原子
- C. 图 1 与图 2 代表的铁单质中，原子之间以金属键相互结合
- D. 图 1 与图 2 代表的铁单质的密度不同

14. 氮化硼晶体有多种相结构。六方相氮化硼是通常存在的稳定相，与石墨相似，具有层状结构，可作高温润滑剂。立方相氮化硼是超硬材料，有优异的耐磨性。它们的晶体结构如图所示。



六方氮化硼



立方氮化硼晶胞

O N  
● B

关于这两种晶体的说法，正确的是

- A. 六方氮化硼与立方氮化硼互为同素异形体
- B. 立方相氮化硼含有 $\sigma$ 键和 $\pi$ 键，所以硬度大
- C. 六方、立方相氮化硼晶体的化学式均为 BN，硼原子的杂化类型分别为  $\text{sp}^2$ 、 $\text{sp}^3$
- D. 两种晶体中既有极性键又有非极性键

15. 钛铁基储氢合金是由钛、铁两种元素组成的金属间化合物。一种钛铁合金的晶胞如图 i 所示，该合金吸收的氢位于体心立方正八面体的中心，氢被 4 个钛原子和 2 个铁原子包围，如图 ii 所示。

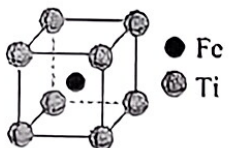


图 i

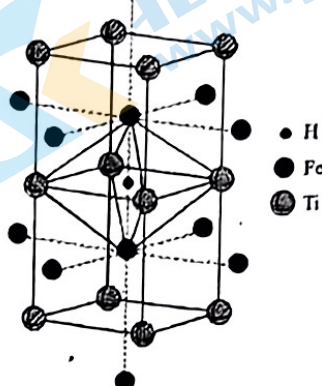


图 ii

下列说法不正确的是

- A. 钛铁合金的化学式： $\text{TiFe}$
- B. 钛铁合金中每个 Ti 周围距离最近且等距的 Fe 有 8 个
- C. 钛铁合金与钛、铁的纯金属相比，熔点更低，硬度更大
- D. 如图 ii 所示的每个体心立方正八面体均填充 1 个氢原子，则理论上形成的金属氢化物的化学式： $\text{TiFeH}_2$

16. 热激活电池是一种需要达到启动温度才开始工作的电池。一种热激活电池的结构如图 1 所示，其放电后的产物为  $\text{Li}_7\text{Si}_3$  和  $\text{LiMn}_2\text{O}_4$ 。

已知： $\text{LiCl}$  和  $\text{KCl}$  混合物的熔点与  $\text{KCl}$  的物质的量分数的关系如图 2 所示。

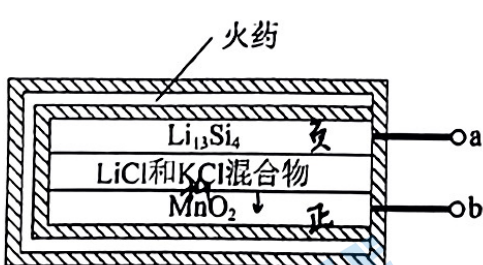


图 1

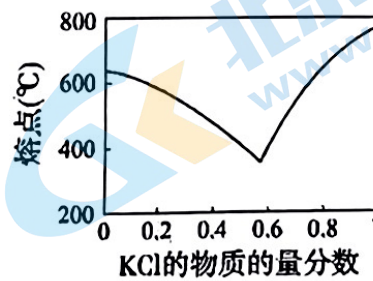


图 2

下列说法不正确的是

- A. 放电时， $\text{Li}^+$ 向 b 极区移动
- B. 放电时，a 极的电极反应是  $3\text{Li}_{13}\text{Si}_4 - 11\text{e}^- \rightarrow 4\text{Li}_7\text{Si}_3 + 11\text{Li}^+$
- C. 该电池中火药燃烧产生的热能直接转化为电能
- D. 调节混合物中  $\text{KCl}$  的物质的量分数可以改变电池的启动温度

17. 室温下，取一定量冰醋酸，进行如下实验：

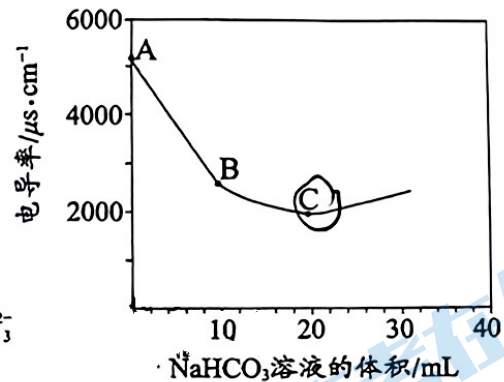
- ①. 将冰醋酸配制成  $0.1 \text{ mol}\cdot\text{L}^{-1}$  醋酸溶液；
- ②. 取 20 mL ①所配溶液，加入  $a \text{ mL } 0.1 \text{ mol}\cdot\text{L}^{-1}$  NaOH 溶液，充分反应后，测得溶液  $\text{pH}=7$ ；
- ③. 向②所得溶液中继续滴加稀盐酸，直至溶液中  $n(\text{Na}^+) = n(\text{Cl}^-)$ 。

下列说法正确的是

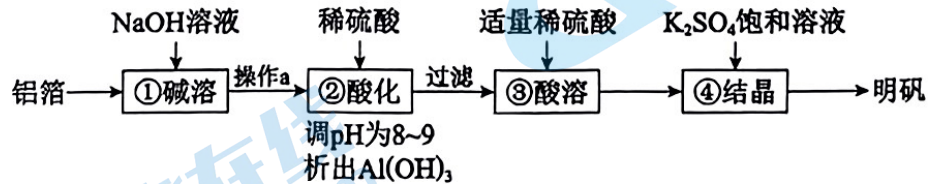
- A. ①中：所得溶液的  $\text{pH}=1$
- B. ②中： $a=20$
- C. ③中：所得溶液中  $c(\text{CH}_3\text{COO}^-) < c(\text{H}^+)$ ，且  $\text{pH} < 7$
- D. 取等体积的①与③所得溶液，二者所含  $\text{CH}_3\text{COOH}$  分子数目相等

18. 向 100 mL  $0.01 \text{ mol/L}$   $\text{Ba}(\text{OH})_2$  溶液中滴加  $0.1 \text{ mol/L}$   $\text{NaHCO}_3$  溶液，测得溶液电导率的变化如右图。下列说法不正确的是

- A.  $\text{Ba}(\text{OH})_2$  和  $\text{NaHCO}_3$  都是强电解质
- B. A→B 电导率下降的主要原因是发生了反应：  
$$\text{Ba}^{2+} + 2\text{OH}^- + 2\text{HCO}_3^- \rightarrow \text{BaCO}_3 \downarrow + 2\text{H}_2\text{O} + \text{CO}_3^{2-}$$
- C. B→C，溶液中的  $c(\text{OH}^-)$  减小
- D. A、B、C 三点水的电离程度：A<B<C



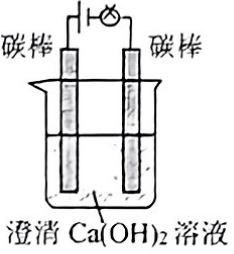
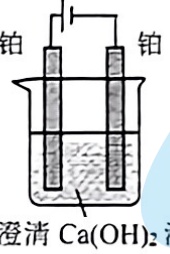
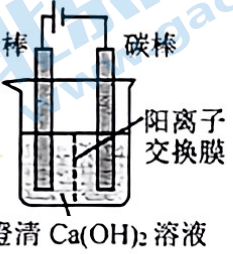
19. 利用废铝箔（主要成分为 Al，含少量 Mg、Fe 等）制明矾 [ $\text{KAl}(\text{SO}_4)_2 \cdot 12\text{H}_2\text{O}$ ] 的一种工艺流程如下：



下列说法不正确的是

- A. ①中生成了  $\text{H}_2$ :  $2\text{Al} + 2\text{NaOH} + 6\text{H}_2\text{O} \rightarrow 2\text{Na}[\text{Al}(\text{OH})_4] + 3\text{H}_2\uparrow$
- B. 操作 a 是过滤，以除去难溶于  $\text{NaOH}$  溶液的杂质
- C. ②③中加入稀硫酸的作用均是除去杂质
- D. 由④可知，室温下明矾的溶解度小于  $\text{Al}_2(\text{SO}_4)_3$  和  $\text{K}_2\text{SO}_4$  的溶解度

20. 某研究小组在电压为 24V 时进行如下实验，电解 3 分钟后，发现下列现象。

编号	①	②	③
装置			
现象	小灯泡微弱发光，两极均产生气泡，阳极附近出现白色浑浊，阴极附近无明显变化	两极均产生气泡，溶液无明显变化	两极均产生气泡，阳极附近出现白色浑浊，阴极附近无明显变化

下列说法正确的是

- A. ①中小灯泡微亮是因为  $\text{Ca}(\text{OH})_2$  是弱电解质
- B. 对比①和②，白色浑浊的出现与电极材料无关
- C. 对比①和③，白色浑浊是由于  $\text{OH}^-$  迁移到阳极使  $\text{Ca}(\text{OH})_2$  沉淀析出
- D. 阳极附近白色沉淀的成分可能是  $\text{CaCO}_3$

21. 某小组对  $\text{FeCl}_3$  溶液与 Cu 粉混合后再加  $\text{KSCN}$  溶液的实验进行如下研究。

- ① 向 2 mL 0.1 mol/L  $\text{FeCl}_3$  溶液中加入过量 Cu 粉，充分反应后，溶液变蓝。  
2 天后，溶液变为浅蓝色，有白色不溶物生成。
- ② 取①中浅蓝色的上层清液，滴加  $\text{KSCN}$  溶液，溶液变红，出现白色浑浊。振荡后白色浑浊物增多，红色褪去。经检验，白色不溶物是  $\text{CuSCN}$ 。
- ③ 向 2 mL 0.1 mol/L  $\text{CuSO}_4$  溶液中滴加  $\text{KSCN}$  溶液，未观察到白色浑浊。放置 24 小时后，出现白色不溶物。

已知： $\text{CuCl}$  和  $\text{CuSCN}$  均为白色不溶固体

下列说法不正确的是

- A. ①中产生白色不溶物的可能原因是  $\text{Cu} + \text{Cu}^{2+} + 2\text{Cl}^- \rightleftharpoons 2\text{CuCl} \downarrow$
- B. 由③可知②中白色浑浊不是  $\text{Cu}^{2+}$  与  $\text{SCN}^-$  直接反应生成的
- C. ②中红色褪去的原因是  $\text{Fe}^{3+}$  被消耗完全
- D. 实验表明： $K_{\text{sp}}(\text{CuSCN}) < K_{\text{sp}}(\text{CuCl})$

## 第II卷 (共 58 分)

22. (11分) 氟在已知元素中电负性最大、非金属性最强，其单质在1886年才被首次分离出来。

(1) 基态F原子的核外电子排布式为\_\_\_\_\_。基态F原子的电子有\_\_\_\_\_种空间运动状态。

(2) 氟氧化物O<sub>2</sub>F<sub>2</sub>、OF<sub>2</sub>的结构已经确定。

①依据右表数据推测O—O键的稳定性：

O<sub>2</sub>F<sub>2</sub>\_\_\_\_\_H<sub>2</sub>O<sub>2</sub> (填“>”或“<”)。

	O <sub>2</sub> F <sub>2</sub>	H <sub>2</sub> O <sub>2</sub>
O—O键长/pm	121	148

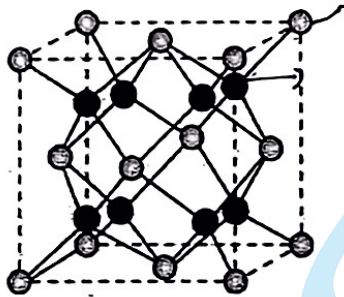
②OF<sub>2</sub>中F—O—F的键角小于H<sub>2</sub>O中H—O—H的键角，解释原因：\_\_\_\_\_。

(3) HF是一种有特殊性质的氢化物。

①已知：氢键(X—H···Y)中三原子在一条直线上时，作用力最强。测定结果表明，(HF)<sub>n</sub>固体中HF分子排列成锯齿形。画出含2个HF的重复单元结构：\_\_\_\_\_。

②HF中加入BF<sub>3</sub>可以解离出H<sub>2</sub>F<sup>+</sup>和具有正四面体形结构的阴离子，写出该过程的离子方程式：\_\_\_\_\_。

(4) 工业上用萤石(主要成分CaF<sub>2</sub>)制备HF。CaF<sub>2</sub>晶体的一种立方晶胞如图所示。



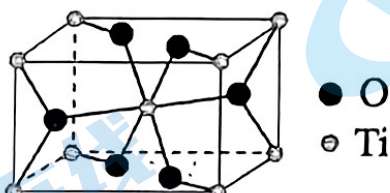
① CaF<sub>2</sub>晶体中距离Ca<sup>2+</sup>最近的F<sup>-</sup>有\_\_\_\_\_个。

②晶体中Ca<sup>2+</sup>与F<sup>-</sup>的最近距离为d nm，阿伏加德罗常数的值为N<sub>A</sub>。该晶体的密度ρ=\_\_\_\_\_g·cm<sup>-3</sup> (列出计算式)。

23. (12分) 金属钛(Ti)密度小，强度高，抗腐蚀性能好。含钛的矿石主要有金红石和钛铁矿。

(1) Ti元素在周期表中的分区是位于\_\_\_\_\_区。基态Ti原子中含有的未成对电子数是\_\_\_\_\_。

(2) 金红石主要成分是钛的氧化物，该氧化物的晶胞形状为长方体，边长分别为 $a\text{ cm}$ 、 $a\text{ cm}$ 和 $b\text{ cm}$ ，结构如下图所示。



① 该氧化物的化学式是\_\_\_\_\_，Ti位于距离最近的O构成的\_\_\_\_\_中心(填字母序号，下同)。

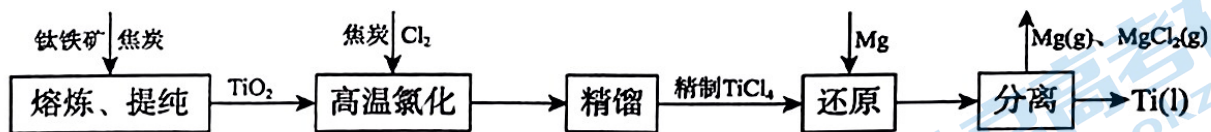
- a. 三角形 b. 四面体 c. 六面体 d. 八面体

② 该氧化物的晶体熔点为 $1850^{\circ}\text{C}$ ，其晶体类型最不可能是\_\_\_\_\_。

- a. 共价晶体 b. 离子晶体 c. 分子晶体

③ 若已知 $m\text{ g}$ 该氧化物晶体体积为 $V\text{ cm}^3$ ，则阿伏加德罗常数 $N_A$ 可表示为\_\_\_\_\_mol<sup>-1</sup>。

(3) 以钛铁矿( $\text{FeTiO}_3$ )为原料，用镁还原法冶炼金属钛的生产流程图如下：



① Fe元素在元素周期表中的位置是\_\_\_\_\_。

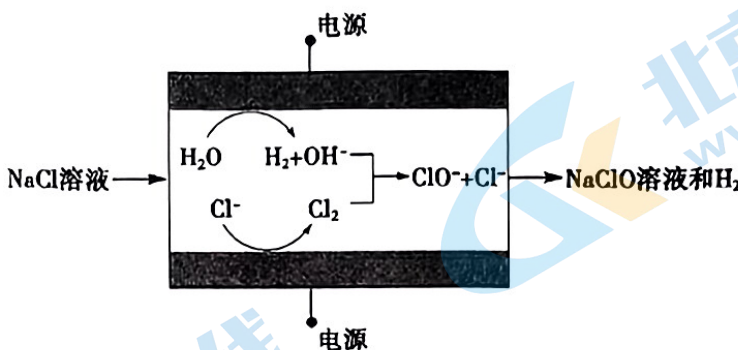
② “高温氯化”时还得到一种可燃性气体，写出反应的化学方程式：\_\_\_\_\_。

③ 结合流程及下表数据，“分离”时所需控制的最低温度应为\_\_\_\_\_°C。

	Ti	Mg	$\text{MgCl}_2$
熔点/°C	1668	651	714
沸点/°C	3287	1107	1412

④ 已知Mg和Ti的晶胞类型相同， $\text{Mg}^{2+}$ 和 $\text{Ti}^{4+}$ 的离子半径大小相近，解释Ti熔点高于Mg的原因：\_\_\_\_\_。

24. (9分) 以次氯酸盐为有效成分的消毒剂应用广泛。电解NaCl溶液制备NaClO溶液的装置示意如下。

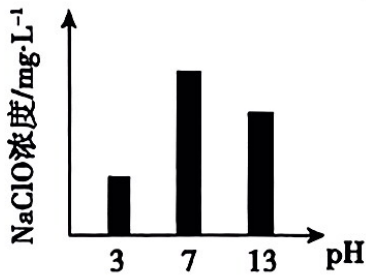


### 【制备】

#### (1) 产生NaClO

- ① 生成NaClO的反应包括： $2\text{Cl}^- - 2\text{e}^- = \text{Cl}_2$ 、 $2\text{H}_2\text{O} + 2\text{e}^- = \text{H}_2 + 2\text{OH}^-$ 、\_\_\_\_\_。  
② 测所得溶液pH，试纸先变蓝( $\text{pH} \approx 10$ )后褪色，说明溶液具有的性质是\_\_\_\_\_。

#### (2) 相同温度下，在不同初始pH下电解NaCl溶液，pH对NaClO浓度影响如下所示。



推测NaClO浓度在pH为3或13时较小的原因：

- I. pH=3时， $\text{Cl}_2$ 的溶解度减小  
II. pH=13时，\_\_\_\_\_

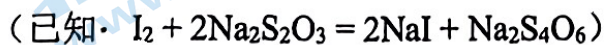
- ① 根据化学平衡移动原理，推测I合理。依据的化学平衡是\_\_\_\_\_。  
② 补全猜想II，经过检验，推测II成立。

根据上述实验，说明电解法制备NaClO溶液，初始pH不宜过小或过大。

(3) 用同样方法电解CaCl<sub>2</sub>溶液制备Ca(ClO)<sub>2</sub>，电解难以持续，推测原因：\_\_\_\_\_。

### 【测量】

(4) 取 $v_1$ mL所得NaClO样液，加水稀释。依次加入KI溶液、稀H<sub>2</sub>SO<sub>4</sub>。析出的I<sub>2</sub>用 $a\text{ mol}\cdot\text{L}^{-1}$ Na<sub>2</sub>S<sub>2</sub>O<sub>3</sub>标准溶液滴定至浅黄色时，滴加2滴淀粉溶液，继续滴定至终点，共消耗Na<sub>2</sub>S<sub>2</sub>O<sub>3</sub>溶液 $v_2$ mL。



样液中 $c(\text{NaClO}) = \text{_____ mol}\cdot\text{L}^{-1}$ 。

25. (13 分)  $\text{Na}_2\text{SO}_3$  在实验研究和化学工业中应用广泛, 有多种制备方法。

I. 利用  $\text{NaOH}$  溶液吸收  $\text{SO}_2$  制备  $\text{Na}_2\text{SO}_3$  溶液。

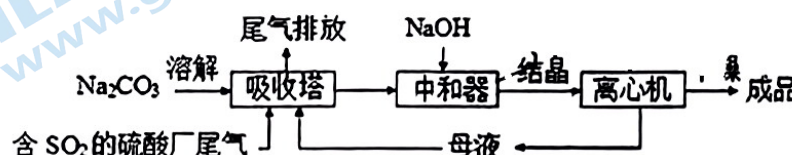
(1) 写出该制备方法的离子方程式 \_\_\_\_\_。

(2) 25°C 时,  $\text{SO}_2$  与  $\text{NaOH}$  反应后的溶液中, +4 价含 S 微粒 ( $\text{H}_2\text{SO}_3$ 、 $\text{HSO}_3^-$  和  $\text{SO}_3^{2-}$ ) 物质的量分数随 pH 变化如图 1 所示。

下列说法正确的是 \_\_\_\_\_ (选填字母)

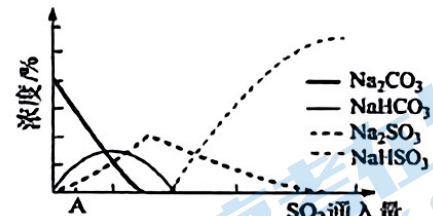
- a. 曲线 b 表示  $\text{SO}_3^{2-}$  物质的量分数随溶液 pH 变化的曲线
- b. pH=8 的溶液中:  $c(\text{HSO}_3^-) \gg c(\text{SO}_3^{2-})$
- c. pH=7 的溶液中:  $c(\text{Na}^+) > c(\text{HSO}_3^-) + c(\text{SO}_3^{2-})$
- d. 1mol/L 的  $\text{NaHSO}_3$  溶液中存在:  $c(\text{H}_2\text{SO}_3) = c(\text{H}^+) + c(\text{OH}^-) + c(\text{SO}_3^{2-})$

II. 利用工业废碱渣 (主要成分  $\text{Na}_2\text{CO}_3$ ) 吸收硫酸厂尾气中的  $\text{SO}_2$  制备无水  $\text{Na}_2\text{SO}_3$  的成本低, 优势明显。其流程如下:



(1) 用化学用语表示工业废碱渣 (主要成分  $\text{Na}_2\text{CO}_3$ ) 显碱性的原因 \_\_\_\_\_。

(2) 图 2 为吸收塔中  $\text{Na}_2\text{CO}_3$  溶液与  $\text{SO}_2$  反应过程中溶液组成变化。则初期反应 (图中 A 点以前) 的离子方程式是 \_\_\_\_\_。



(3) 中和器中发生的主要反应的化学方程式是 \_\_\_\_\_。

资料显示:

I.  $\text{Na}_2\text{SO}_3$  在 33°C 时溶解度最大, 将其饱和溶液加热至 33°C 以上时, 由于溶解度降低会析出无水  $\text{Na}_2\text{SO}_3$ , 冷却至 33°C 以下时析出  $\text{Na}_2\text{SO}_3 \cdot 7\text{H}_2\text{O}$ ;

II. 无水  $\text{Na}_2\text{SO}_3$  在空气中不易被氧化,  $\text{Na}_2\text{SO}_3 \cdot 7\text{H}_2\text{O}$  在空气中易被氧化。

(4) 为了降低由中和器所得溶液中  $\text{Na}_2\text{SO}_3$  的溶解度, 从而提高结晶产率, 中和器中加入的  $\text{NaOH}$  是过量的。

① 请结合化学反应原理解释  $\text{NaOH}$  过量的原因 \_\_\_\_\_。

② 结晶时应选择的最佳操作是 \_\_\_\_\_ (选填字母)。

- a. 95~100°C 加热蒸发, 直至蒸干
- b. 维持 95~100°C 蒸发浓缩至有大量晶体析出, 趁热过滤
- c. 95~100°C 加热浓缩, 冷却至室温结晶, 过滤

(5) 为检验  $\text{Na}_2\text{SO}_3$  成品中是否含少量  $\text{Na}_2\text{SO}_4$ , 需选用的试剂是 \_\_\_\_\_。

26. (13 分) 氧化还原反应可拆分为氧化和还原两个“半反应”。某小组同学从“半反应”的角度探究反应规律。

(1) 已知:  $\text{IO}_3^- + \text{I}^- \rightarrow \text{I}_2$  的转化在酸性条件下才能发生。

①该转化的还原半反应是  $2\text{IO}_3^- + 10\text{e}^- + 12\text{H}^+ = \text{I}_2 + 6\text{H}_2\text{O}$ , 则相应的氧化半反应是\_\_\_\_\_。

②分析上述还原半反应可知: 增大  $\text{c}(\text{H}^+)$  可促进  $\text{IO}_3^-$  得到电子, 使其\_\_\_\_\_性增强, 进而与  $\text{I}^-$  发生反应。

(2) 探究 Cu 与浓盐酸能否发生反应。

①有同学认为 Cu 与浓盐酸不能发生反应产生氢气, 其依据是\_\_\_\_\_。

用如下装置进行实验【硫酸与浓盐酸中  $\text{c}(\text{H}^+)$  接近】。

装置	序号	试管内药品	现象
	甲	浓盐酸	24 小时后仍无明显变化
	乙	Cu 粉 + 硫酸	24 小时后仍无明显变化
	丙	Cu 粉 + 浓盐酸	24 小时后气球变鼓

②甲实验的目的是\_\_\_\_\_。

③a. 丙中气球变鼓是因为生成了\_\_\_\_\_气体(填化学式)。

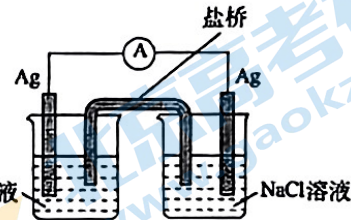
b. 经检测, 丙中反应后溶液中存在  $[\text{CuCl}_4]^{3-}$ 。从物质性质角度分析丙中反应能够发生的原因: \_\_\_\_\_。

(3) 探究以下原电池的工作原理。

实验结果: 产生电流, 左侧 Ag 电极表面有 Ag 析出。

①该装置中左侧 Ag 电极作\_\_\_\_\_ (填“正”或“负”)极。

②写出该装置右侧烧杯中的电极反应式\_\_\_\_\_。



对该原电池的电极反应和总反应的反应类型进行分析, 发现两极上分别发生氧化和还原反应, 而总反应不一定是氧化还原反应。

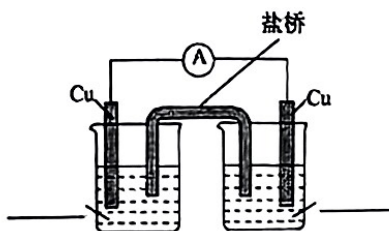
③结合上述实验思考, 仅由以下实验用品能否设计成原电池。

Cu 片、 $\text{CuSO}_4$  浓溶液、蒸馏水、烧杯、盐桥、导线、电流表

(选做下列 a 或 b, 若两个都作答, 按 a 计分)

a. 若能, 在右装置图中填写烧杯中的试剂, 并标出电子的移动方向。

b. 若不能, 说明原因。

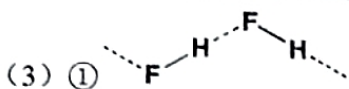


化学期末答案

CACDB ACCAB BCBED CCBCD C

22. (1)  $1s^2 2s^2 2p^5$  5

(2) ① > ②  $OF_2$  和  $H_2O$  中 O 原子均为  $sp^3$  杂化且均有 2 个孤电子对, F 原子电负性大于 H, 与  $H_2O$  中 O—H 相比,  $OF_2$  中 O—F 键成键电子对更加偏向 F 原子, 中心原子 O 的电子云密度小,  $OF_2$  中成键电子对之间排斥力小于  $H_2O$ ,  $OF_2$  的键角 F—O—F 小于  $H_2O$  中键角 H—O—H



(4) ① 8 ②  $\frac{4 \times 78}{N_A \cdot (\frac{4d}{\sqrt{3}} \times 10^{-7})^3}$

23. (1) d 2

(2) ①  $TiO_2$  d ② c ③  $\frac{160V}{ma^2b}$

(3) ① 第四周期、第VII族 ②  $TiO_2 + 2C + 2Cl_2 \xrightarrow{\text{高温}} TiCl_4 + 2CO$  ③ 1668

④ Mg 和 Ti 均为金属晶体, 熔化时破坏金属键。 $Mg^{2+}$  和  $Ti^{4+}$  的离子半径接近, 但  $Ti^{4+}$  带四个单位正电荷, 而  $Mg^{2+}$  带两个单位正电荷, 故金属钛中的金属键强于金属镁中的金属键, 钛的熔点更高

24. (1) ①  $Cl_2 + 2OH^- = Cl^- + ClO^- + H_2O$  ② 碱性、氧化性

(2) II  $OH^-$  在阳极竞争放电生成  $O_2$  ①  $Cl_2 + H_2O \rightleftharpoons HCl + HClO$

(3) 生成的  $Ca(OH)_2$  微溶, 覆盖在电极表面, 阻止了电极反应的发生

(4)  $\frac{av_2}{2v_1}$

25. I. (1)  $SO_2 + 2OH^- = SO_3^{2-} + H_2O$  (2) c

II. (1)  $CO_3^{2-} + H_2O \rightleftharpoons HCO_3^- + OH^-$

(2)  $2CO_3^{2-} + SO_2 + H_2O = 2HCO_3^- + SO_3^{2-}$

(3)  $NaHSO_3 + NaOH = Na_2SO_3 + H_2O$

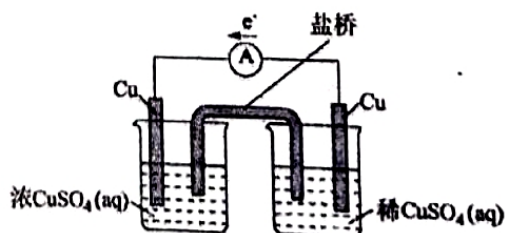
(4) ①  $Na_2SO_3$  存在溶解平衡:  $Na_2SO_3(s) \rightleftharpoons 2Na^+(aq) + SO_3^{2-}(aq)$ ,  $NaOH$  过量使  $c(Na^+)$  增大, 上述平衡逆向移动; ② b (5) 稀盐酸、 $BaCl_2$  溶液

26. (1) ①  $10I^- - 10e^- = 5I_2$  ② 氧化

(2) ① 在金属活动性顺序中, Cu 位于 H 之后 ② 排除浓盐酸挥发造成的干扰

③  $H_2$  ④  $Cu + 4Cl^- - e^- = [CuCl_4]^{3-}$ ,  $Cl^-$  使 Cu 的还原性增强

(3) ① 正 ②  $Ag - e^- + Cl^- = AgCl$  ③



# 北京高一高二高三期末试题下载

京考一点通团队整理了**【2024年1月北京各区各年级期末试题&答案汇总】**专题，及时更新最新试题及答案。

通过**【京考一点通】**公众号，对话框回复**【期末】**或者点击公众号底部栏目**<试题专区>**，进入各年级汇总专题，查看并下载电子版试题及答案！



微信搜一搜

京考一点通



星期五 14:32

京考一点通

“北大A计划”启动2024第七期全国海选！  
初二到高二可报名

报名

2024，心想事必成！Flag留言中奖名单出炉，看看都是谁

高三试题  
高二试题  
高一试题  
外省联考试题  
进群学习交流

合格考加油  
2024北京第一次合格考开考，这个周末...

试题专区 2024高考 福利领取